

○ 名古屋大学	学生員	後藤 宏弘
名古屋大学	正員	近藤 明雅
名古屋大学	正員	菊池 寿一

1. 考え方 近年、長大橋梁の鋼床版の縫りゲルにて、ねじれ剛性の向上や腐食防止等の理由により、閉断面機リグに代り、逆T形、丁形の閉断面機リグを使用する場合が増えてきた。しかし、鋼床版は、比較的死荷重が小さく、作用荷重に対する活荷重の割合が大きく、また、機リグは、一般に複数台を用いた場合も荷重とされるため、繰返し荷重に対する疲労が問題となるところ。

このため、本研究では、昨年行われた試験片に引き続いて、実物大の鋼床版の機リグを用いて、曲げ疲労試験を行い、耐疲労性について、検討を行つたものである。

2. 試験体および試験方法 図-1は、試験体の寸法、および各試験体の特徴を示す。試験体の材質は、SS41である。機リグは、板厚6mmの平板をプレスして作製した。Aシリーズとは、A部・B部ともに、ルートギャップ5mm、目盛り3mmとし、G、Hシリーズとは、A部ともに、ルートギャップ0mmとし、A部と目盛り2mm、B部と目盛り0mmとしている。G'シリーズとは、A部ルートギャップ10mmとし、A部と目盛り2mm、B部と0mmとした。また、H、G、G'シリーズとは、R部の半径は30mm(板厚の5倍)とし、Hシリーズとは、半径は90mm(板厚の15倍)とした。

疲労機は、エンジンウェルダーを使用し、疲労装置は、機リグ底部に向き、側面は直向きとし、現場に近い状況を想定して疲労を行つた。疲労順序は、中央の機リグを最後に疲労し、機リグは、1)床版と機リグを1回ずつ、2)機リグ底面1層目、3)機リグ側面1層目、4)機リグ底面2層目、5)機リグ側面2層目 の順序で行つた。

疲労試験は、サボ式疲労試験機を使用し、機リグ底面フランジの底面に着目して、応力比0.1、繰返し速度、1~1.5Hzの4点曲げ載荷を行つた。

3. 静的試験結果 図-1は、3Dによる、疲労試験に先づ2行、正静的試験の代表的な結果を示す。ひずみゲージの位置は、それぞれ図中の位置に対応している。図-1は、長手方向の試験体底部中央のひずみ分布を示し、図-3では、A部ジードより反対側に15mm離れた断面とのひずみ分布が示されている。センサのひずみの値は、すべて軸方向のひずみの値である。図-1は8箇所、兩ジード付

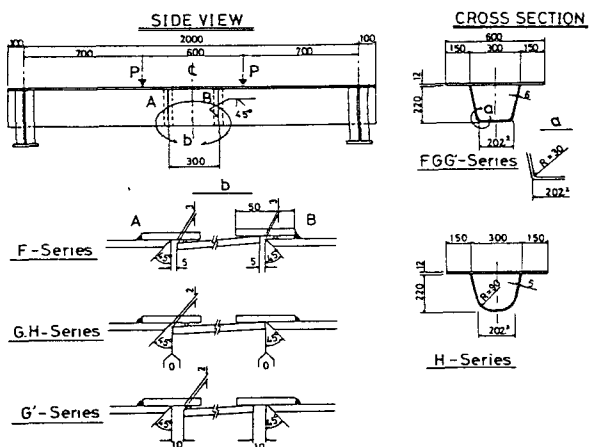


図-1 模試体

近づく、ひずみが大きくなり、30%程度R部でのひずみが大きくなると測定されなくなるのは、目立つ印象が感じられるに見える。図-3のひずみの値より、断面は、弹性範囲に留まらず、ひずみがわかる。また、このひずみ印加より、特に、R部における応力の乱れは測定されなかつた。このことは、R部の主応力方向の測定によっても示されることはある。一般部では、1軸ひずみゲージを用い、ひずみを測定しては、R部の数箇所には、3軸ひずみゲージを用い、主応力方向の測定を行つており、その結果は、ほとんどが、軸方向より、±5°以内では、といった。このことからも、R部での主応力方向の乱れは、ほとんどないことがわかる。

**4. 疲労試験結果** 各シリーズのオーリツ発生場所を表-1に示す。Gシリーズでは、B部底部からオーリツが発生したものは、4体中2体である。また、Hシリーズでは、A部からオーリツが発生したものは、2体。B部からのものは、4体であり、すべてがR部ルートから生じた。また、破面観察によれば、Gシリーズ、Hシリーズとも、1mm程度の不接着部が発見されたが、Hシリーズのほうで、若干大きめの不接着部を生じていた。

図-4に、曲げ疲労試験のS-N線図を示す。図中の実線は、50%破壊確率の一軸線である。G、Hシリーズの試験体では、A部、B部ともルートギャップ0mmとし、疲労強度も上向きで行つたもので、これらのルートギャップは、現場実合せ疲労強度の疲労強度のうち、かなり低い疲労強度を示してゐるに見える。

また、この図より、GシリーズがHシリーズよりも強度的に高い結果を示してゐることがわかる。先の破面観察の所述べたように、Gシリーズの試験体では、不接着部の大きさが遠くおり、これが、疲労強度の差を生じさせたものであると考えられる。また、リガメントがGシリーズでは異なり、これが強度の差に影響していのか、あるいは、これらの要因が相まって影響していのかのかは、さらに詳しい検討が必要である。

**5. おわり** さらに詳しい考察のために、残留応力試験、疲労じんごう形状確認試験を行つており、今後報告する予定である。本研究につき、トピード工業機械製造所といろいろお腹いした。ここに記して感謝の意を表しておきたい。

1) 薩摩第一号；鋼床版機りと現場疲労強度の疲労強度－第3回全国大会概要集

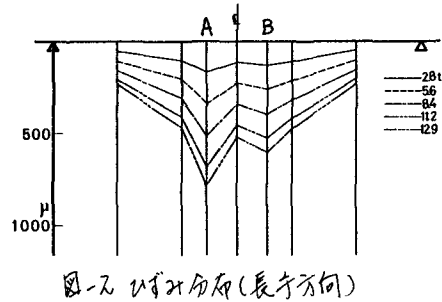


図-2 ひずみ分布(長手方向)

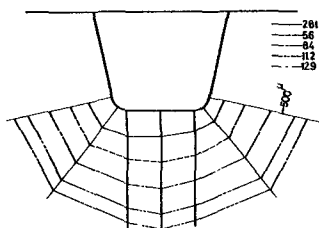


図-3 ひずみ分布(断面)

表-1 オーリツ発生場所

	A部ルート	B部ルート	ARルート	BRルート	R部ルート
Fシリーズ			1		1
Gシリーズ	5	2			1
G'シリーズ				1	
Hシリーズ		2	3		1

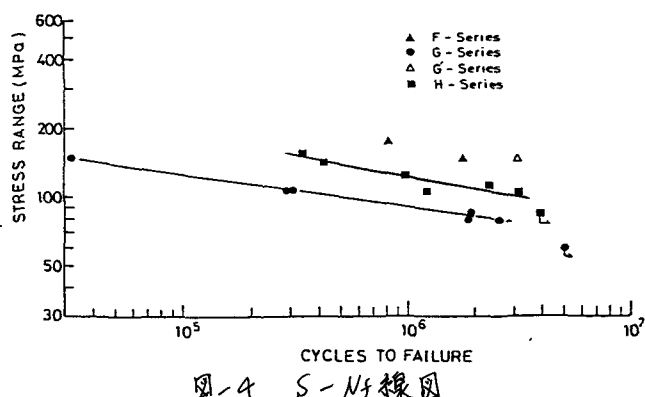


図-4 S-N線図